

EXERCÍCIOS - ANÁLISE DE DADOS

Professores: Sandro Fonseca, Maurício Thiel, Eliza Melo, Diego Machado *Name:* Isis Prazeres Mota

EXERCICIO 1

Cópia do arquivo.

EXERCICIO 2

Seleção das variáveis:

```
1 root [3] data_Weighted->Scan("B_m:B_charge:s31_DTF:s23_DTF")
```

EXERCICIO 3

Calculando e exibindo a massa invariante do méson B e verificando se esse valor está de acordo com a massa invariante correta do B^\pm .

```
1 // Variaveis para armazenar os dados
2 double B_m;
3
4 // Configura a branch
5 tree->SetBranchAddress("B_m", &B_m);
6
7 // Cria histograma
8 TH1F *h_B_m = new TH1F("h_B_m", "Invariant Mass of B Meson; B_m (MeV/c^2); Events", 100, 5000, 5500);
9
10 // Loop sobre os eventos
11 Long64_t nentries = tree->GetEntries();
12 for (Long64_t i = 0; i < nentries; i++) {
13     tree->GetEntry(i);
14     h_B_m->Fill(B_m);
15 }
16
17 // Calcula a media e o desvio padrao
18 double mean = h_B_m->GetMean();
19 double std_dev = h_B_m->GetStdDev();
20
21 // Verifica se a massa invariante esta de acordo com a massa esperada do B+-
22 bool in_agreement = (mean >= B_m_expected - std_dev) && (mean <= B_m_expected + std_dev);
23
24 std::cout << "Media da massa invariante do meson B: " << mean << " MeV/c^2" << std::endl;
25 std::cout << "Desvio padrao da massa invariante do meson B: " << std_dev << " MeV/c^2" << std::endl;
26 std::cout << "A massa invariante do meson B esta de acordo com a massa esperada do B+-? " << (in_agreement ? "Sim" : "Nao") << std::endl;
27
28 // Cria canvas para desenhar o histograma
29 TCanvas *c1 = new TCanvas("c1", "Invariant Mass of B Meson", 800, 600);
30 h_B_m->Draw();
31
32 // Salva o grafico
```

```

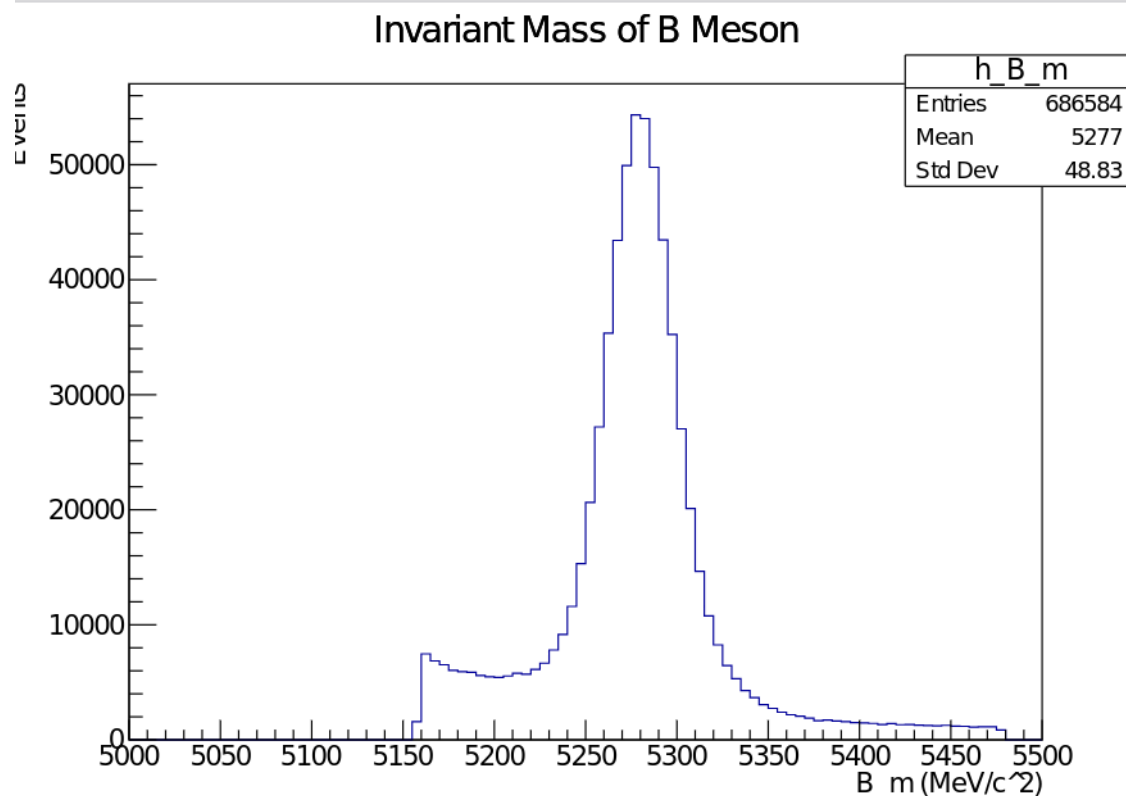
33   c1->SaveAs("B_meson_mass.pdf");
34 }

```

Mostrando os seguintes resultados no terminal:

- Média da massa invariante do méson B : $5277.38 \text{ MeV}/c^2$
- Desvio padrão da massa invariante do méson B : $48.8346 \text{ MeV}/c^2$
- A massa invariante do méson B está de acordo com a massa esperada do B^\pm ? **Sim**

Plot:



Calculando e exibindo a massa invariante das ressonâncias $\rho(770)$ e $f_0(980)$ usando $\sqrt{s31_DTF}$ para calcular $m(\pi^+\pi^-)$. Verificando, também, se há alguma mudança na forma das ressonâncias ao selecionar eventos dentro do intervalo $5240 < B_m[\text{MeV}/c^2] < 5320$.

```

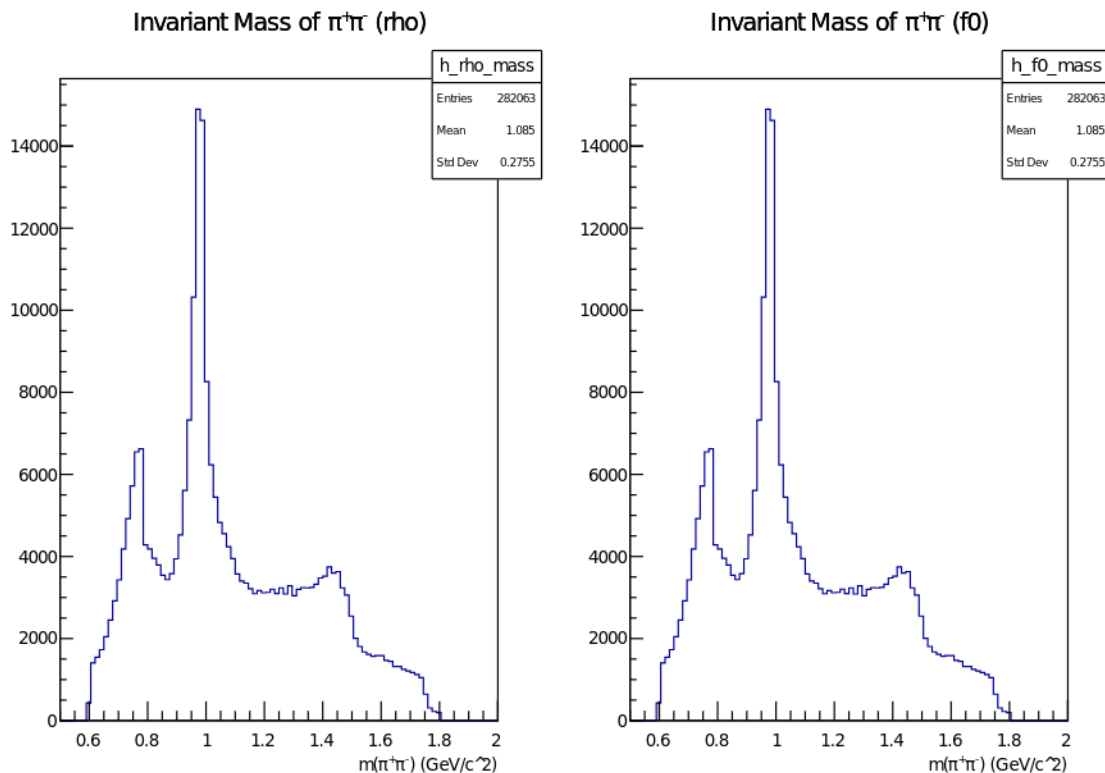
1  // Variaveis para armazenar os dados
2  double B_m, s31_DTF;
3
4  // Configura as branches
5  tree->SetBranchAddress("B_m", &B_m);
6  tree->SetBranchAddress("s31_DTF", &s31_DTF);
7
8  // Cria histogramas para os dois casos
9  TH1F *h_rho_mass_all = new TH1F("h_rho_mass_all", "Invariant Mass of #pi^{+}#pi
    ^{-} (rho) - All Events; m(#pi^{+}#pi^{-}) (GeV/c^2); Events", 100, 0.5, 2.0)
10 ;
11 TH1F *h_rho_mass_selected = new TH1F("h_rho_mass_selected", "Invariant Mass of #
    pi^{+}#pi^{-} (rho) - Selected Events; m(#pi^{+}#pi^{-}) (GeV/c^2); Events",
    100, 0.5, 2.0);
12
13 // Loop sobre os eventos
14 Long64_t nentries = tree->GetEntries();
15 for (Long64_t i = 0; i < nentries; i++) {
16     tree->GetEntry(i);

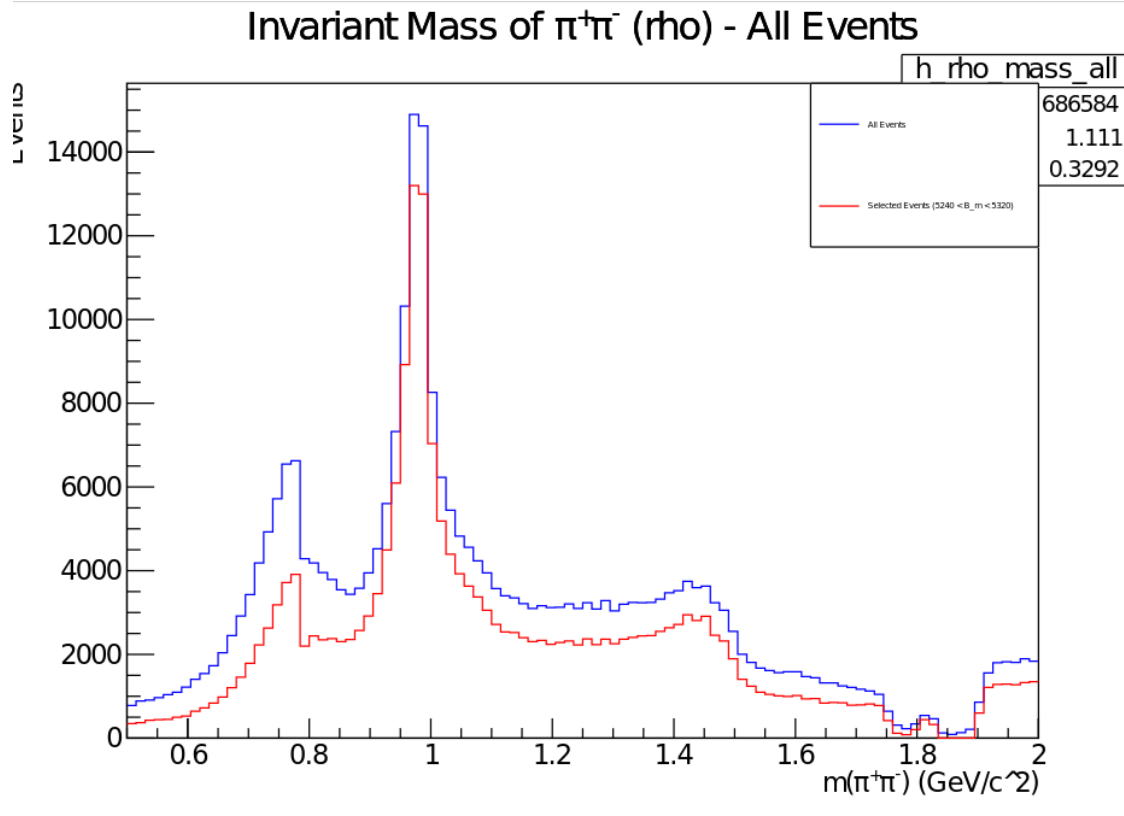
```

```

17 // Calcula a massa invariante
18 double pi_pi_mass = std::sqrt(s31_DTF);
19
20 // Preenche o histograma com todos os eventos
21 h_rho_mass_all->Fill(pi_pi_mass);
22
23 // Preenche o histograma com eventos selecionados
24 if (B_m > 5240 && B_m < 5320) {
25     h_rho_mass_selected->Fill(pi_pi_mass);
26 }
27 }
28
29 // Cria canvas para desenhar os histogramas
30 TCanvas *c1 = new TCanvas("c1", "Invariant Mass of Resonances", 800, 600);
31 h_rho_mass_all->SetLineColor(kBlue);
32 h_rho_mass_selected->SetLineColor(kRed);
33
34 h_rho_mass_all->Draw();
35 h_rho_mass_selected->Draw("SAME");
36
37 // Adiciona legenda
38 TLegend *legend = new TLegend(0.7, 0.7, 0.9, 0.9);
39 legend->AddEntry(h_rho_mass_all, "All Events", "l");
40 legend->AddEntry(h_rho_mass_selected, "Selected Events (5240 < B_m < 5320)", "l")
41 ;
42 legend->Draw();
43
44 // Salva o grafico
45 c1->SaveAs("resonances_mass_comparison.pdf");

```





Avaliando a violação direta de CP em decaimentos $B \rightarrow PV$ ao selecionar uma janela estreita ao redor da ressonância $\rho(770)$. Calculando $m^2(K^+\pi^-)$ para B^+ e B^- , fazendo um ajuste quadrático e calculando a assimetria A_{CP} .

```

1 // Constantes para a janela ao redor da ressonancia rho(770)
2 const double rho_mass_min = 0.6; // GeV/c^2
3 const double rho_mass_max = 0.8; // GeV/c^2
4
5 //////////////////////////////////////int main////////////////////////////////////
6
7 // Variaveis para armazenar os dados
8 double B_m, B_charge, s31_DTF, s23_DTF;
9
10 // Configura as branches
11 tree->SetBranchAddress("B_m", &B_m);
12 tree->SetBranchAddress("B_charge", &B_charge);
13 tree->SetBranchAddress("s31_DTF", &s31_DTF);
14 tree->SetBranchAddress("s23_DTF", &s23_DTF);
15
16 // Histogramas para B+ e B-
17 TH1F *h_Kpi_Bplus = new TH1F("h_Kpi_Bplus", "m^{2}(K^{+}\pi^{-}) for B+; m^{2} (
18   GeV/c^2)^2; Events", 100, 0, 2);
19 TH1F *h_Kpi_Bminus = new TH1F("h_Kpi_Bminus", "m^{2}(K^{+}\pi^{-}) for B-; m^{2}
20   (GeV/c^2)^2; Events", 100, 0, 2);
21
22 // Loop sobre os eventos
23 Long64_t nentries = tree->GetEntries();
24 for (Long64_t i = 0; i < nentries; i++) {
25   tree->GetEntry(i);
26
27   // Calcula m^2(K^+pi^-)
28   double m2_Kpi = s23_DTF;
29
30   // Preenche os histogramas dependendo da carga do B
31   if (B_charge == 1) { // B+

```

```

30         if (sqrt(s31_DTF) >= rho_mass_min && sqrt(s31_DTF) <= rho_mass_max) {
31             h_Kpi_Bplus->Fill(m2_Kpi);
32         }
33     } else if (B_charge == -1) { // B-
34         if (sqrt(s31_DTF) >= rho_mass_min && sqrt(s31_DTF) <= rho_mass_max) {
35             h_Kpi_Bminus->Fill(m2_Kpi);
36         }
37     }
38 }
39
40 // Cria canvas para desenhar os histogramas
41 TCanvas *c1 = new TCanvas("c1", "m^{2}(K^{+}#pi^{-}) for B+ and B-", 800, 600);
42 h_Kpi_Bplus->SetLineColor(kBlue);
43 h_Kpi_Bminus->SetLineColor(kRed);
44
45 h_Kpi_Bplus->Draw();
46 h_Kpi_Bminus->Draw("SAME");
47
48 // Adiciona legenda
49 TLegend *legend = new TLegend(0.7, 0.7, 0.9, 0.9);
50 legend->AddEntry(h_Kpi_Bplus, "B+", "l");
51 legend->AddEntry(h_Kpi_Bminus, "B-", "l");
52 legend->Draw();
53
54 // Salva o grafico
55 c1->SaveAs("Kpi_mass_squared.pdf");
56
57 // Ajuste quadratico e obtencao dos termos quadraticos
58 TF1 *fit_Bplus = new TF1("fit_Bplus", "pol2", 0, 2);
59 h_Kpi_Bplus->Fit(fit_Bplus, "Q");
60
61 TF1 *fit_Bminus = new TF1("fit_Bminus", "pol2", 0, 2);
62 h_Kpi_Bminus->Fit(fit_Bminus, "Q");
63
64 double p2_Bplus = fit_Bplus->GetParameter(2);
65 double p2_Bminus = fit_Bminus->GetParameter(2);
66
67 // Calcula a assimetria A_CP
68 double A_CP = (p2_Bminus - p2_Bplus) / (p2_Bminus + p2_Bplus);
69 std::cout << "A_CP: " << A_CP << std::endl;

```

Mostrando no terminal o resultado: $A_{CP} : -13.7462$

Isso indica uma assimetria significativa entre as duas configurações de decaimento B^+ e B^- , o que é um indício de violação de paridade e pode ser relacionado a processos de violação de CP.

